

ارائه مدل یک بعدی شبیه‌سازی جریان و رسوب، مطالعه موردی: رودخانه الندخوی

محمد تقی اعلمی^۱

کیومرث روشنگار^۲

محمدعلی کی نژاد^۳

یوسف حسن‌زاده^۴

(دریافت ۱۰/۱۰/۸۷ پذیرش ۲۱/۷/۸۸)

چکیده

در این مقاله، مدل ریاضی رفتار جریان غیر دائمی، ظرفیت حمل رسوب و تغییرات بستر در یک آبراهه فرسایش‌پذیر مورد بررسی و شبیه‌سازی قرار گرفت. به این منظور جریان غیر دائمی متغیر تدریجی با معادله سن-ونان و بیوستگی رسوب با معادله اکسنر با روش اصلاح شده و دو مرحله‌ای لکس وندرف- ریچمایر با دقت بالا و مرتبه دوم زمانی و مکانی، به صورت صریح و مزدوچ تحلیل شد. صحت عملکرد و نتایج مدل ریاضی با داده‌های آزمایشگاهی مورد مقایسه و ارزیابی قرار گرفت. همچنین با در نظر گرفتن داده‌های هیدرولیکی و ابعاد هندسی رودخانه الند در بازه بدلاً و ارزیابی تناسب کاربرد و سازگاری روش‌های مختلف برآورد بار رسوب در این بازه، تغییرات پروفیل سطح آب، کف بستر و پارامترهای هیدرولیکی به صورت تابعی از زمان و مکان ارائه شد. نتایج این تحقیق کارایی بسیار بالای مدل در شبیه‌سازی و پیش‌بینی پروفیل بستر و جریان و امکان اعمال شرایط مختلف در آن را نشان داد.

واژه‌های کلیدی: شبیه‌سازی، جریان غیر دائمی، بار بستر، سن-ونان- اکسنر، لکس وندرف- ریچمایر

One-Dimensional Simulation of Flow and Sediment Transport, A Case Study in the Aland River

Yousef Hasanzadeh¹
Kiyoumars Roushangar³

Mohammad Ali Keynejad²
Mohammad Tagi Alami⁴

(Received Jan 4, 2009 Accepted Oct. 13, 2009)

Abstract

In this paper, a mathematical model is presented for studying the unsteady flow, aggradation, and degradation in alluvial channels. The one-dimensional, unsteady, gradually varied flow equations (saint-venant equations) and the sediment continuity equation are solved numerically using the second-order, explicit finite difference two-step scheme developed by Lax Wendroff- Richmayer. All the three governing equations are solved simultaneously during any step so that the water flow and sediment continuity equations are coupled. The computed results are compared with the experimental results obtained in a laboratory flume. Also the Aland River data in Badalan Station with different sediment discharge equations are used for simulating the unsteady flow model bed changes and hydraulic parameters for different sections and time steps. Results show that the model is capable of simulating unsteady open channel flow, bed load transport, aggradation and degradation satisfactorily.

Keywords: Simulation, Unsteady Flow, Bed Load, Saint-Venant-Exner, Lax Wendroff- Richmayer

1. Prof., Dept of Civil Eng., University of Tabriz (Corresponding Author)
(+98 411) 3354100 yhassanzadeh@tabrizu.ac.ir
2. Prof., Dept. of Civil Eng., Sahand University, Tabriz
3. Ph.D. Student of Hydraulic Structures, Dept. of Civil Eng., University of Tabriz
4. Asist. Prof., Dept. of Civil Eng., University of Tabriz

- استاد، دانشکده مهندسی عمران، دانشگاه تبریز (نویسنده مسئول)
yhassanzadeh@tabrizu.ac.ir

- استاد، دانشکده مهندسی عمران، دانشگاه سهند، تبریز

- دانشجوی دکترای سازه‌های هیدرولیکی، دانشکده مهندسی عمران،
دانشگاه تبریز

- استادیار، دانشکده مهندسی عمران، دانشگاه تبریز

۱- مقدمه

همبستگی آماری و ترکیبی از روش‌های تحلیلی، فرضهای منطقی و اطلاعات تجربی توسعه یافته‌اند. در مورد بار کف می‌توان به تحقیقات میر-پیتر و مولر^{۱۰}، اینشتون^{۱۱}، زانکه^{۱۲}، پارکر^{۱۳}، سان^{۱۴} و دانا هو^{۱۵}، چنگ^{۱۶} و ویلکوک^{۱۷} اشاره کرد [۹-۱۵].

هدف اصلی این تحقیق، مدل‌سازی عددی جریان غیر دائمی در یک بستر فرسایش‌پذیر، بررسی قابلیت و کارآمدی مدل مورد نظر در شبیه‌سازی هیدرولیکی جریان، برآورد غیر مستقیم بار رسویی بستر و شناسایی و مقایسه روابط سازگار در بازه مورد نظر به کمک روش‌های تحلیلی و نیمه تجربی بود.

در این تحقیق با در نظر گرفتن فرایند انتقال رسوی در بازه بدلان واقع در رودخانه‌ی الند شهرستان خوی به عنوان رودخانه‌ای با مواد بستری درشت دانه و ارزیابی تناسب کاربرد و سازگاری روش‌های مختلف در برآورد بار رسویی بستر، یک مدل ریاضی یک بعدی برای تحلیل معادلات سن-ونان-اکسنر و پیش‌بینی تغییرات پروفیل آب بستر رودخانه و شدت انتقال رسوی تهیه و ارائه شد. در مدل مذکور معادلات سن-ونان برای جریان آب و معادله اکسنر برای پیوستگی رسوی با روش اصلاح شده-لکس وندرف-ریچ مایر^{۱۸} به صورت دو مرحله‌ای، جفت^{۱۹} و با دقت از مرتبه دوم تحلیل شد. ضمن بررسی نتایج و صحت عملکرد مدل در بازه مورد نظر، روند تغییرات بستر، پروفیل سطح آب و پارامترهای هیدرولیکی به صورت تابعی از زمان و مکان برای هر نوع معادله رسویی، قابل پیش‌بینی است.

۲- معادلات حاکم بر مدل

معادلات دیفرانسیل جزئی مدل مذبور که بیان کننده معادلات جریان غیر دائمی با کف فرسایش‌پذیر است، از نوع هذلولوی غیر خطی بوده که برای کanal مستطیلی به صورت زیر بیان می‌شوند

$$(h)_t + (hu)_x = 0 \quad (1)$$

$$\text{معادله مومنتم} \quad (2)$$

$$(hu)_t + \left(hu^2 + \frac{gh^2}{2}\right)_x - gh(S_0 - S_f) = 0$$

$$(Z)_t + \left(\frac{1}{1-P}\right)(q_s)_x = 0 \quad (3)$$

معادله پیوستگی رسوی

یکی از اهداف مهم در مهندسی متابع آب، بهینه کردن منافع و کمینه کردن خسارات ناشی از جریان در رودخانه‌ها است. این کار با شناسایی، رفتار سنجی و تحلیل جریان در رودخانه‌ها میسر می‌گردد. کنترل و به حداقل رساندن خسارات واردۀ ناشی از سیالاب، رسوی‌گذاری و فرسایش به آبراهه‌ها، اراضی کشاورزی، تأسیسات و ابینه‌های آبی مستلزم این است که فرایند حرکت جریان، فرسایش بستر، انتقال مواد جامد و تهشیینی مواد رسویی مورد مطالعه کامل قرار گیرد.

امروزه محدودیت داده‌های هیدرولیکی اندازه‌گیری شده از یک سو و توسعه روش‌های عددی از سوی دیگر، شبیه‌سازی ریاضی رفتار جریان، ظرفیت حمل رسوی و روند رسوی‌گذاری و فرسایش را امری ضروری و اجتناب ناپذیر کرده است. به همین دلیل محققان مختلفی شبیه‌سازی عددی یک بعدی را برای بررسی جریان‌های با بستر متغیر در کانال‌های آبرفتی و رودخانه‌های طبیعی مورد توجه قرار داده‌اند.

در این رابطه می‌توان به مدل خطی و پخشی پیش‌بینی پروفیل بستر توسط سونی و همکاران^۱، استفاده از سری فوریه و روش تابع خطأ در تحلیل معادله رسوی‌گذاری توسط گیل^۲، استفاده از روش باقیمانده‌ها در تحلیل معادله دیفرانسیل جزئی غیر خطی توسط جارامیلو^۳ و جین^۴، بررسی روش‌های مزدوج توسط چادری^۵، حل معادلات سن-ونان-اکسنر^۶ در حالات بحرانی توسط لین^۷ و آلتین کار^۸ و شبیه‌سازی سیالبهای شدید در رودخانه‌های طبیعی توسط والریو^۹، اشاره نمود [۱-۶]. اخیراً نیز تغییرات پروفیل‌های طولی و عرضی بستر ناشی از پدیده‌های فرسایش و رسوی‌گذاری در مخزن سد علوبیان به طور موردن توسعه حسن‌زاده و همکاران و مدل ریاضی جهت برآورد مقدار رسوی‌گذاری در مخازن سدهای کوچک توسط صمدی و همکاران مورد مطالعه قرار گرفته است [۷ و ۸].

در مورد برآورد بار بستر در دهه‌های اخیر به منظور شناخت، تحلیل حرکت ذرات و برآورد بار رسویی، کوشش‌های بسیاری صورت گرفته است. ولی با توجه به محدودیت شناخت نسبت به مکانیسم و فرم مختلط حرکت ذرات، تاکنون روش تحلیلی جامع و عمومی ارائه نشده است. روابط پیشنهادی اغلب بر اساس

¹⁰ Meyer –Peter and Muller

¹¹ Enistein

¹² Zanke

¹³ Parker

¹⁴ Sun

¹⁵ Donahue

¹⁶ Cheng

¹⁷ Wilcock

¹⁸ Lax Wendroff- Richmayer

¹⁹ Coupled

¹ Soni et al.

² Gill

³ Jaramilo

⁴ Jain

⁵ Chaudhery

⁶ Saint-Venant-Exner

⁷ Lyn

⁸ Altin kar

⁹ Valerio

که در این روابط

h عمق جریان، u سرعت جریان، Z رقوم کف کanal، S_0 شیب بستر، S_f شیب خط انرژی، P تخلخل لایه کف و $q_s = f(u, h)$ دبی رسوی بار بستر در واحد عرض است.

۳- الگوی عددی برای تحلیل معادلات

الگوی عددی به کار رفته روش صریح و اصلاح شده لکس وندرف-ریچ مایر است. این روش ترکیبی از روش‌های لکس و جهش میانی^۱ است که از لحظه مکانی و زمانی دارای دقت از مرتبه دوم بوده و

^۱ Leapfrog

۱-۳- گام اول
در این مرحله جهت سهولت در عملیات، تغییر متغیرهای زیر را در نظر گرفته می‌شود.

۲-۳- گام دوم

در این مرحله نیز مقادیر متغیرهای q_s, u, h در گام زمانی بالاتر به صورت جفت در گره‌های داخلی $i=2, 3, \dots, k$ محاسبه می‌گردد.

$$\frac{\Delta t}{\Delta x} = \varepsilon, \quad hu^2 + 1/2gh^2 = \eta, \quad \xi = gh(S_0 - S_f),$$

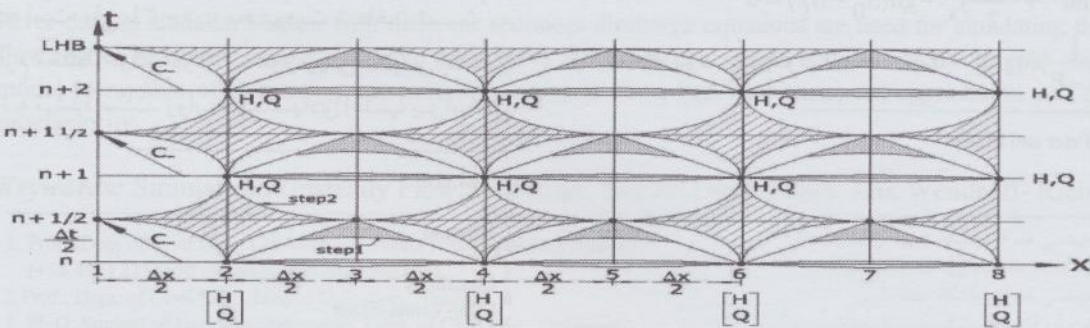
$$f_i^n = \frac{f_{i+1}^n + f_i^n}{2}, \quad \tilde{f}_i^n = \frac{f_i^n - f_{i-1}^n}{2}, \quad S_f = \frac{n^2 u^2}{(R)^{4/3}}, \quad S_0 = -Z_x$$

$$\left[\begin{array}{c} h \\ hu \end{array} \right]_{2i+1}^{\frac{2n+1}{2}} = \left[\begin{array}{c} \bar{h} \\ \bar{hu} \end{array} \right]_i^n - \varepsilon \left[\begin{array}{c} \tilde{q} \\ \tilde{\eta} \end{array} \right]_{i+1}^n + \frac{\Delta t}{2} \left[\begin{array}{c} 0 \\ \xi \end{array} \right]_i^n \quad (4)$$

که در آن

$$\left[\begin{array}{c} h \\ hu \end{array} \right]_{2i-1}^{\frac{2n+1}{2}} = \left[\begin{array}{c} \bar{h} \\ \bar{hu} \end{array} \right]_{i-1}^n - \varepsilon \left[\begin{array}{c} \tilde{q} \\ \tilde{\eta} \end{array} \right]_i^n + \frac{\Delta t}{2} \left[\begin{array}{c} 0 \\ \zeta \end{array} \right]_{i-1}^n \quad (5)$$

$$\left[\begin{array}{c} h \\ hu \\ Z \end{array} \right]_i^{n+1} = \left[\begin{array}{c} h \\ hu \\ Z \end{array} \right]_i^n - 2\varepsilon \left[\begin{array}{c} \tilde{q} \\ \tilde{\eta} \\ \frac{\tilde{q}_s}{1-p} \end{array} \right]_{i+\frac{1}{2}}^{n+\frac{1}{2}} + \Delta t \left[\begin{array}{c} 0 \\ \bar{\xi} \\ 0 \end{array} \right]_{i+\frac{1}{2}}^{n+\frac{1}{2}} \quad (6)$$



شکل ۱- شبکه حل تفاضلات محدود با روش صریح و اصلاح شده لکس وندرف-ریچ مایر [۱۶]

سپس با تصحیح مقدار x_R ، عملیات مجدداً با مقادیر تصحیح شده، ادامه یافت و با حصول همگرایی، مقادیر متغیرهای مجهول در گرهای مرزی بالا دست به دست آمد

(۱۰)

به منظور کاهش نوسانات ناشی از خطاهای عددی، ویسکوزیته مصنوعی به الگو اضافه می‌شود. روش غیرخطی جیمسون و همکاران^۱ یکی از روشهای موفق در کاهش نوسانات غیرواقعی در روشهای حل مرتبه دوم بوده و کمترین خطای احتمالی را به همراه دارد. در اینجا ابتدا متغیرهای Γ و Ψ تعریف می‌شوند [۱۶]

$$X_R^n = (c - u)_I^n \cdot \Delta t$$

$$\begin{bmatrix} Q \\ A \\ Z \end{bmatrix}_R^n = \begin{bmatrix} Q \\ A \\ Z \end{bmatrix}_R^n - \left(\frac{X_2 - X_R^n}{\Delta x} \right) \begin{bmatrix} Q_2 - Q_1 \\ A_2 - A_1 \\ Z_2 - Z_1 \end{bmatrix}$$

$$A_I^{n+1} = \frac{(Q_I^{n+1} - Q_R^n) - \Delta t(b\xi_R^n)}{(U + C)_R^n} + A_R^n$$

(۱۱)

$$X_R^n = \frac{1}{2} \Delta t ((C - U)_I^{n+1} + (C - U)_R^n)$$

$$\begin{bmatrix} Q \\ A \\ Z \end{bmatrix}_R^n = \begin{bmatrix} Q \\ A \\ Z \end{bmatrix}_R^n - \left(\frac{X_2 - X_R^n}{\Delta x} \right) \begin{bmatrix} Q_2 - Q_1 \\ A_2 - A_1 \\ Z_2 - Z_1 \end{bmatrix}$$

$$A_I^{n+1} = \frac{2(Q_I^{n+1} - Q_R^n) - b\Delta t(\zeta_R^n + \zeta_I^{n+1})}{(U + C)_R^n + (U + C)_I^{n+1}} + A_R^n$$

که در این روابط

Q دبی جریان و A مساحت مقطع است.

برای گرهای مرزی پایین دست نیز با در نظر گرفتن شبیه مثبت منحنی مشخصه، مانند موارد بالا عمل شد. در مورد رقوم کف در بالا دست نیز از برونو یابی مقادیر داخلی استفاده گردید و به منظور پایداری الگو نیز شرط کورانت

$$\frac{1}{\varepsilon} \leq \frac{1}{(U + C)} \quad (\text{CFL})$$

۴-۳- روش محاسباتی

در این پژوهش از روش لکس-وندرف ریچ‌مایر که یک روش چندگامی است، استفاده شد. این روشها برای معادلات هذلولوی غیرخطی مناسب بوده و عملکرد آنها بر اساس پیش‌بینی و تصحیح است به طوری که در گام نخست مقادیر متغیری برای متغیر وابسته پیش‌بینی می‌شود و سپس در گام بعدی مقادیر تصحیح شده برای تعیین مقادیر نهایی متغیر انتخاب می‌گردد. روش چندگامی لکس-وندرف اولین گام را در نقطه میانی $\frac{1}{2}(i+1)$ اعمال می‌کند در حالی

که گام زمانی $\frac{1}{2}n+1$ است و سپس در مرحله زمانی $n+1$ ، از روش

$$\Psi = \begin{bmatrix} \frac{|h_i - h_{i-1}|}{|h_i| + |h_{i-1}|} \\ \frac{|h_{i+1} - 2h_i + h_{i-1}|}{|h_{i+1}| + 2|h_i| + |h_{i-1}|} \\ \frac{|h_{i+1} - h_i|}{|h_{i+1}| + |h_i|} \end{bmatrix} \quad (۷)$$

مرز پایین دست $i=k+1$ ، نقاط میانی k تا 2 و مرز بالا دست $i=1$ است.

$$\Gamma^+ = k \text{Max}(\Psi_{i+1}, \Psi_i), \quad \Gamma^- = k \text{Max}(\Psi_i, \Psi_{i-1}) \quad (۸)$$

که در آن

k ضریب تنظیم میزان لزجت مصنوعی بوده و $0.3 \leq k \leq 1$ برای شروع الگوریتم در نظر گرفته شده است.

مقادیر نهایی به صورت زیر اصلاح می‌شود

$$\begin{bmatrix} h \\ hu \\ Z \end{bmatrix}_i^{n+1} = \begin{bmatrix} h \\ hu \\ Z \end{bmatrix}_i^{n+1} + 2\Gamma^+ \begin{bmatrix} \tilde{h} \\ \tilde{q} \\ \tilde{Z} \end{bmatrix}_{i+1}^{n+1} - 2\Gamma^- \begin{bmatrix} \tilde{h} \\ \tilde{q} \\ \tilde{Z} \end{bmatrix}_i^{n+1}$$

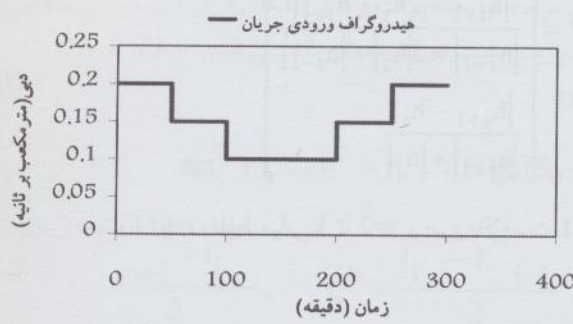
۳-۳- محاسبه مقادیر متغیرها در مرزها

برای شرایط جریان زیر بحرانی به منظور محاسبه مقادیر z, u, h در گرهای 1 و $k+1$ مطابق تئوری مشخصه^۲، دو شرط مرزی در بالا دست و یک شرط مرزی در پایین دست لحاظ شد. به عنوان شرط مرزی جریان در بالا دست، هیدروگراف ورودی سیل و در پایین دست، منحنی دبی-اشل در نظر گرفته شد که مطابق روابط زیر، مقادیر متغیرهای وابسته‌ای که از طریق شرایط مرزی مشخص نبودند، به کمک تئوری مشخصه، محاسبه گردیدند [۱۶]. برای کمیتهای بالا دست ابتدا با تعریف مقادیر پارامترها در نقطه R و به کمک هیدروگراف ورودی، مقادیر u_I^{n+1} و u_R^{n+1} محاسبه شدند.

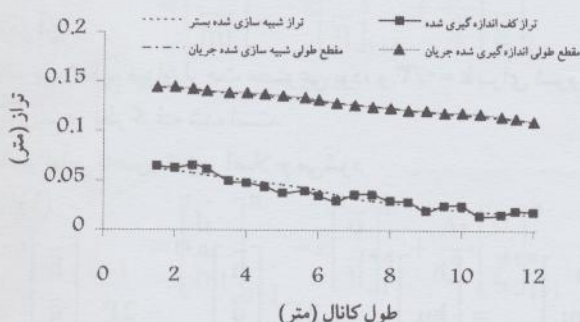
¹ Jamson et al.

² Characteristic Theory

استفاده شد [۱۷]. در این آزمایش طول کanal ۳۰ متر، عرض آن ۲ متر و شبیه‌سازی اولیه کف ۰/۰۰۲ و دانه‌بندی تقریباً یکنواخت با $D_{50} = 1/2\text{mm}$ بود. هیدروگراف ورودی مطابق شکل ۲ است. با توجه به مقادیر بار بستر اندازه‌گیری شده، روش آیکرز وايت^۴ برای محاسبه q_i^n در این آزمایش پیشنهاد شد. اعمال داده‌های اولیه مرزی در این آزمایش به مدل پیشنهادی و مقایسه آن با داده‌های اندازه‌گیری شده مطابق شکل ۳، حاکی از عملکرد خوب مدل در شبیه‌سازی تغییرات کف و پروفیل جریان است.



شکل ۲- هیدروگراف ورودی جریان به کanal آزمایشگاهی



شکل ۳- مقایسه عملکرد مدل و داده‌های آزمایشگاهی در مدت زمان ۱۵۰ دقیقه

۴- تعیین دانه‌بندی و ضریب مانینگ در بازه مورد مطالعه رودخانه الند از کوه‌های مرزی ایران و ترکیه سرچشمه گرفته و پس از طی مسیری کوهستانی در جنوب شهر خوی به رودخانه قطور تخلیه می‌شود. بالحافظ کردن شرایط یک بازه مناسب رودخانه‌ای برای مطالعات هیدرولیکی، بازه بدلان در پایین دست ایستگاه هیدرومتری بدلان و بالادست سد انحرافی الند، انتخاب شد. مدل ریاضی برآورد بار رسوبی و شبیه‌سازی هیدرولیکی جریان سیلابی در بازه مورد مطالعه به کمک روش پیشنهادی، مورد مطالعه قرار گرفت.

جهش نقطه میانی^۱ برای یافتن متغیرها استفاده می‌گردد. این روش با دقت زمانی و مکانی از مرتبه دوم جزء روش‌های با دقت بالا محسوب می‌گردد [۱۶].

با فرض معلوم بودن مقادیر h_i^n و q_i^n در مرحله زمانی معین k در کلیه نقاط شبکه ($i=1,2,\dots,K+1$) از یک آبراهه تقسیم شده به n بازه در مرحله زمانی $k+1$ مقادیر به ترتیب زیر محاسبه شدند

$$1 - \text{مقادیر } h_i^{n+\frac{1}{2}} \text{ و } q_i^{n+\frac{1}{2}} \text{ در گره‌های داخلی (} i=2,3,\dots,k \text{)} \text{ با}$$

استفاده از روابط ۴ و ۵ محاسبه و مقادیر آنها در مرزها

$(i=1,i=k+1)$ به کمک شرایط مرزی مناسب تعیین شد.

۲- مقادیر $Z_i^{n+1}, q_i^{n+1}, h_i^{n+1}$ در گره‌های داخلی ($i=2,3,\dots,k$) به کمک مقادیر محاسباتی بند الف و الگوی به کار گرفته شده، تعیین و مقادیر آنها در مرزها از شرایط مرزی مشخص شده محاسبه شدن.

۳- برای استهلاک نوسانات، ویسکوزیته مصنوعی به روش جیمسون به الگو اضافه شده و مقادیر محاسبه شده در مرحله قبل تصحیح شد.

۴- مقادیر Z_i^n, q_i^n, h_i^n را برای بازه زمانی بعدی برابر $Z_i^{n+1}, q_i^{n+1}, h_i^{n+1}$ قرار داده و بازه زمانی Δt برای گام بعدی از معادله کورانت تعیین شد. این روند تا تکمیل مشابه سازی برای زمان مورد نظر تکرار شد.

در این روش معادلات جریان و پیوستگی رسوب با یکدیگر مرتبط^۲ هستند. در گام اول، ارتباطی بین معادلات وجود ندارد ولی در گام دوم مقادیر پیش‌بینی شده h و q برای محاسبه q_s مورد استفاده قرار می‌گیرد و در نتیجه برای هر متغیر وابسته‌ای که در انتهای بازه زمانی محاسبه شود، تغییرات تمام متغیرهای دیگر منظور می‌گردد. شایان ذکر است که روش جفت در مدل‌سازی کanal‌های آبرفتی منجر به نتایج دقیق‌تر و بهتری می‌گردد [۴].

به طور کلی روش محاسباتی ارائه شده به دلیل سادگی عمل و عدم نیاز به تشکیل دستگاه معادلات غیر خطی و نیز تکرار محاسبات دارای سرعت نسبتاً بالایی در مقایسه با روش‌های ضمنی بوده و استفاده از گام زمانی مناسب با توجه به شرط پایداری کورانت، ضرورتی ذاتی برای پایداری و استفاده از آن است.

۳-۵- ارزیابی صحت عملکرد مدل
به منظور ارزیابی صحت عملکرد مدل از نتایج آزمایش رسوب‌گذاری و فرسایش آزمایشگاه هیدرولیک بورلینگتون^۳

¹ Leapfrog Method

² Coupled

³ Burlington

⁴ Ackes White

۱- روابط تجربی که اساس آن وابستگی کامل مقاومت به زبری و اندازه مواد متشکله کف به صورت aD^b بود، نتایج در جدول ۱ نشان داده شده است.

۲- روش کیفی یا مقایسه‌ای که مبنای آن انتباط شرایط مورفولوژیکی، هیدرولیکی و هندسه بازه بر رودخانه مشابه مرجع [۲۰] است که در این روش $0.39 \leq n \leq 0.40$ نتیجه شد [۲۰].

۳- روش اندازه‌گیری مستقیم که با کارکرد روش شب سطح^۳ در حل معادله مانینگ، مقدار ضریب زبری در شرایط جریان دائمی در حدود 0.31 برآورد گردید [۲۰].

۵- شبیه‌سازی جریان سیلابی و شدت بار بستر در رودخانه مورد مطالعه

۱-۵- شرایط اولیه

جریان در بازه مورد مطالعه دارای طول 400 متر، عمق متوسط 1 متر، شب 0.67 درصد، عرض متوسط 20 متر و دبی 27 مترمکعب بر ثانیه بود. بدلیل عریض و مستقیم بودن مسیر و همچنین عدم وجود تغییرات ناگهانی در پروفیل طولی کف بستر و نیز ثبت دیواره‌های جانبی، جریان در یک مقطع مستطیلی عریض به صورت یک بعدی در راستای اصلی جریان شبیه‌سازی شد.

۲-۵- وقوع سیلاب

در اثر وقوع جریان غیر دائمی سیلابی مطابق هیدروگراف ورودی شکل ۵، دبی از 27 به 60 مترمکعب در ثانیه در مدت زمان t_1-t_2 دقیقه افزایش یافت و سپس در مدت زمان 110 دقیقه (t_2-t_3) فروکش نمود تا تقریباً به مقدار اولیه رسید. برای به کارگیری معادله مناسب انتقال بار بستر در مدل پیشنهادی با توجه به داده‌های اندازه‌گیری شده مربوط به هیدرولیک جریان و بار بستر در ایستگاه مورد نظر، روابط تجربی و تحلیلی سازگار با شرایط رودخانه مورد نظر انتخاب شد. با احتساب خصوصیات فیزیکی مواد رسوبی در لایه‌های سطحی، زیر سطحی و مواد بار کف بستر، نرخ انتقال بار رسوبی کف و میزان خطای آنها در مقایسه با داده‌های تجربی مطابق شکل‌های 6 تا 9 ارزیابی شد [۲۱]. خطای رابطه 12 محاسبه شد

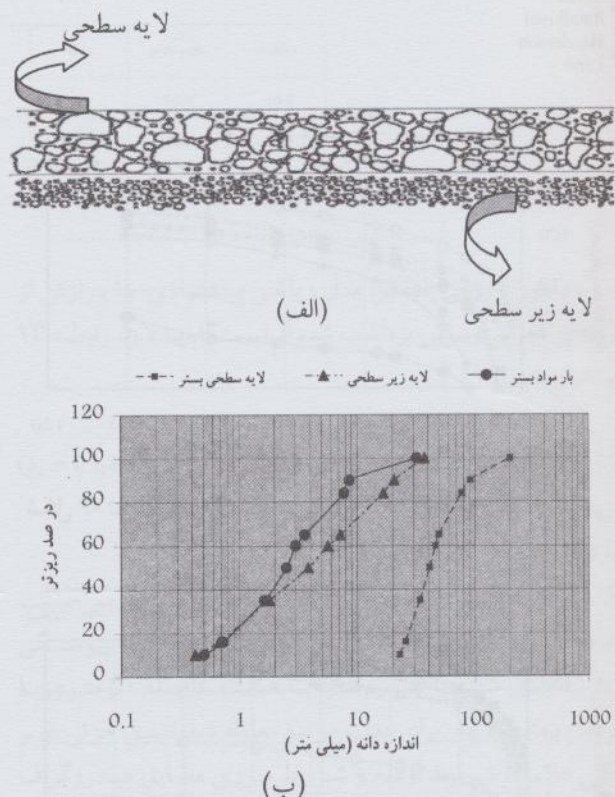
$$E\% = \sum_{i=1}^n \left(\frac{Q_{b\text{model}} - Q_{b\text{measured}}}{Q_{b\text{measured}}} \right) \quad (12)$$

که در این رابطه

دبی بار بستر پیش‌بینی شده توسط مدل و $Q_{b\text{model}}$ دبی بار بستر اندازه‌گیری شده است.

³ Slope Area Method

رودخانه‌الند در بدلاً جزء رودخانه‌هایی با بستر درشت دانه است و بهمین دلیل مطابق شکل ۴-الف بستر آن به ذوالیه سطحی و زیر سطحی قابل تفکیک است. نمونه‌های لازم به روش شبکه‌ای^۱ و با استفاده از دستگاه‌های هلی اسمیت^۲ از لایه سطحی و زیر سطحی برداشته شد و مواد بار کف در دبی‌های مختلف تهیی و منحنی دانه‌بندی آن مطابق شکل ۴-ب ترسیم و ازائه شد [۱۸ و ۱۹].



شکل ۴-(الف) نمایش لایه‌های سطحی و زیر سطحی و (ب) دانه‌بندی آنها

با توجه به اینکه در رودخانه‌های با مواد بستر درشت دانه، لایه سطحی بستر به عنوان معیار تعیین ضریب مقاومت به شمار می‌رود، بنابراین برای محاسبه ضریب مانینگ در بازه مورد مطالعه رودخانه‌الند نیز بدلیل تغییرات لایه سطحی، فرسایش و رسوب‌گذاری و تغییرات فرم بستر در جریان‌های سیلابی از سه روش متداول زیر استفاده شد

¹ Grid by Number

² Helly Smith

جدول ۱- مقدار ضریب زیری محاسبه شده با روابط تجربی مختلف در بازه مورد مطالعه [۲۱]

روش ضرایب	میرپیتر	لين ^۶	هندرسون ^۵	رادکیوی ^۴	گارد ^۳	برآی ^۲	سابرامانیا ^۱
a(m)	۰/۰۳۸	۰/۰۳۷	۰/۰۴۱۵	۰/۰۰۴۱	۰/۰۴۷۶	۰/۰۵۶	۰/۰۴۷
b	۰/۱۶۶	۰/۱۶۶	۰/۱۶۶	۰/۱۶۶	۰/۱۶۶	۰/۱۷۶	۰/۱۶۶
g(%)	۹۰	۷۵	۵۰	۷۵	۵۰	۶۵	۵۰
n	۰/۰۲۵	۰/۰۳	۰/۰۲۴	۰/۰۲۵	۰/۰۲۸	۰/۰۳۳	۰/۰۲۷

^۱ Subramanya

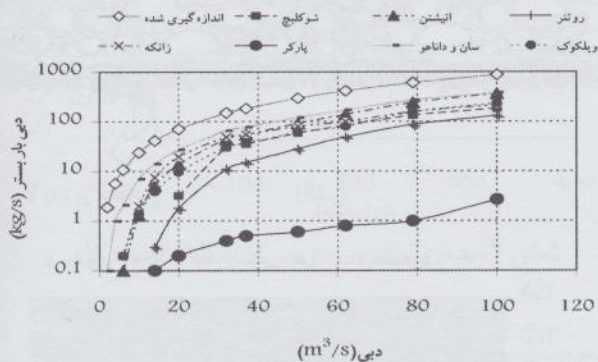
^۲ Bray

^۳ Garde

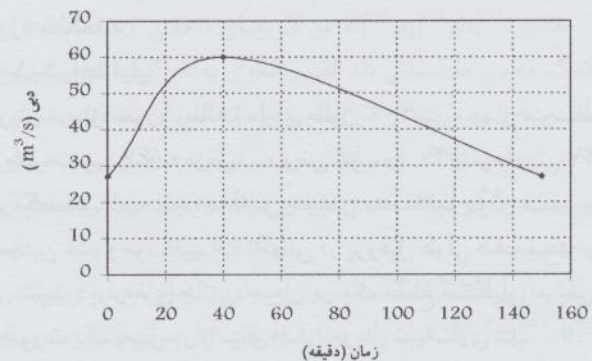
^۴ Raudkivei

^۵ Henderson

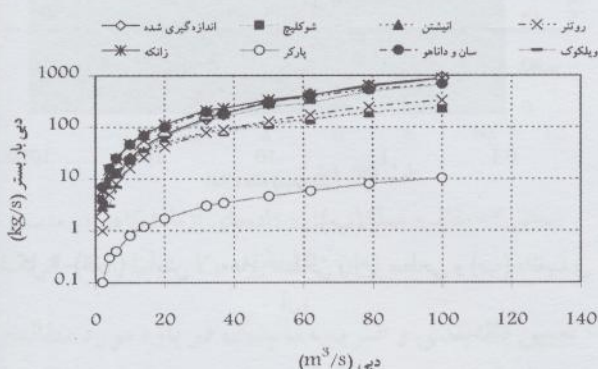
^۶ Lane



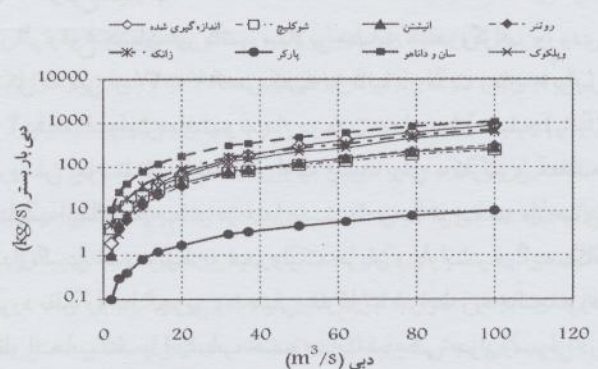
شکل ۶- تغییرات دبی بار بستر نسبت به دبی جریان با دانه بندی لایه سطحی



شکل ۵- هیدروگراف ورودی جریان در بالادست



شکل ۸- تغییرات دبی بار بستر نسبت به دبی جریان با دانه بندی مواد بارکف

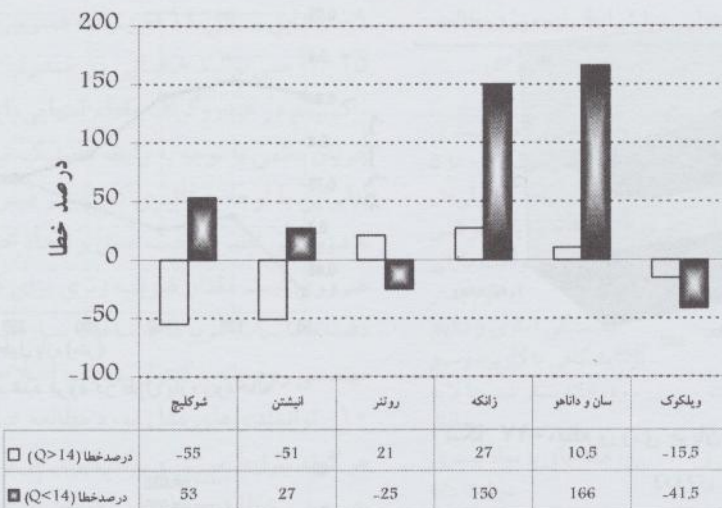


شکل ۷- تغییرات دبی بار بستر نسبت به دبی جریان با دانه بندی لایه زیر سطحی

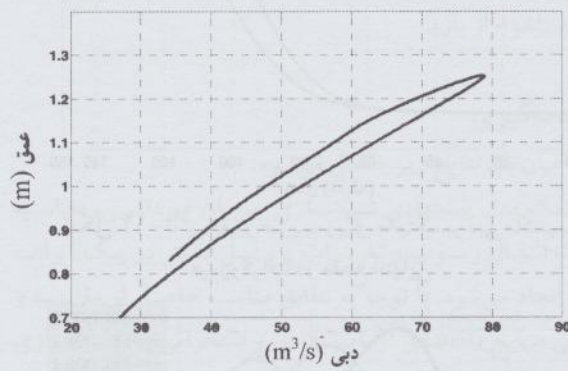
جدول ۲- مقایسه درصد خطای نسبی مدل های محاسبه بار بستر با در نظر گرفتن دانه بندی و ترکیب روشها

دبي بار كف	درصد خطا	هر دبی	Q > 14(m^3/s)		Q < 14(m^3/s)		(/.) Q_{b3}
لایه سطحی بستر	لایه زیر سطحی	۹۲۰	۳۹۷	۴۸۹	۷/۳۳	۹۰	۱۹
لایه سطحی	مواد بار کف	۱۳۰	۱۸/۲۳	۱۸/۲۳	۱۸/۲۳	۹۰	۱۹۵

Q_{b1}: متوسط روشهای اینشن، روتner، شوکلچ، زانکه، ویلکوک و سان و دانا هو. Q_{b2}: متوسط روشهای اینشن، روتner و شوکلچ. Q_{b3}: متوسط روشهای زانکه، ویلکوک و سان و دانا هو



شکل ۹- درصد خطای نسبی روش‌های منتخب برآورد رسوب بستر نسبت به داده‌های اندازه‌گیری شده

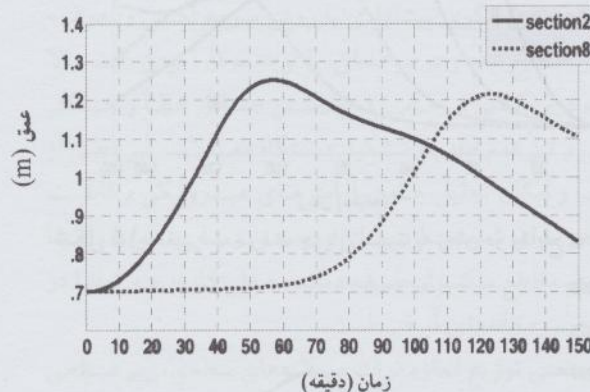


شکل ۱۱- تغییرات دبی نسبت به عمق در مقطع دوم

به منظور ارزیابی عملکرد مدل ریاضی پیشنهادی، با برآذش از داده‌های تجربی رسوبی برداشت شده از ایستگاه بدلان، رابطه ۱۳ استخراج شد [۱۹]

$$Q_b = 0.645 Q^{1.57} \quad (13)$$

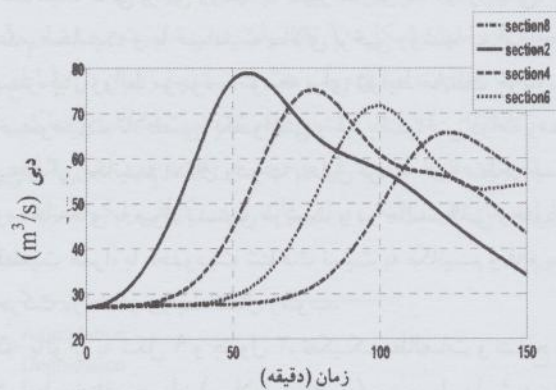
که در این رابطه Q_b دبی بار بستر بر حسب کیلوگرم بر ثانیه و Q دبی بر حسب مترمکعب بر ثانیه است. سپس رابطه ۱۳ در معادله پیوستگی رسوب اعمال شد و با تقسیم بازه به هشت فاصله ۵۰ متری با فواصل زمانی پایدار برای مدل، هر سه معادله دیفرانسیل جزئی غیر خطی حاکم، با شرایط اولیه و شرایط مرزی مطابق هیدروگراف ورودی شکل ۵ به طور مزدوج تحلیل شد و تغییرات مشخصات هیدرولیکی نسبت به پارامترهای مختلف در شکل‌های ۱۰ تا ۱۷ ترسیم و ارائه شد.



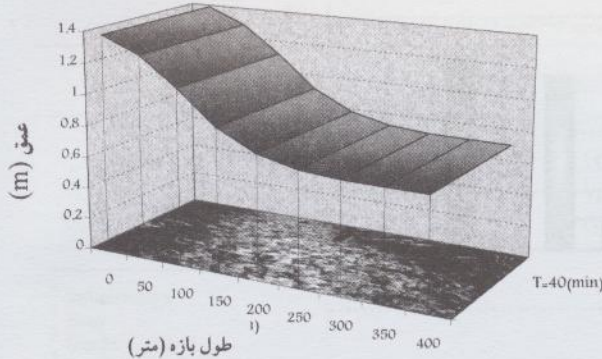
شکل ۱۲- تغییرات عمق نسبت به زمان

۶- نتایج و بحث

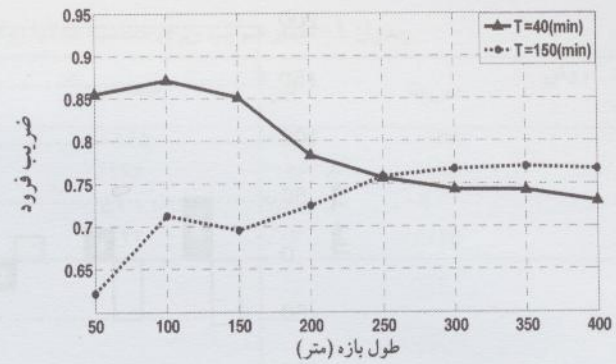
۱- مطابق شکل‌های ۶ تا ۸، به کارگیری دانه‌بندی لایه سطحی بستر به منظور برآورد بار کف، خطای نسبی بزرگ‌تری نسبت به دو حالت دیگر دارد [۲۱]. بنابراین تخمین شدت بار بستر به کمک



شکل ۱۰- تغییرات دبی نسبت به زمان در مقاطع مختلف



شکل ۱۷- مقطع ورودی جریان سیلابی در زمان اوج هیدروگراف
ورودی ۴۰ دقیقه



شکل ۱۳- تغییرات عدد فرود در طول بازه رودخانه

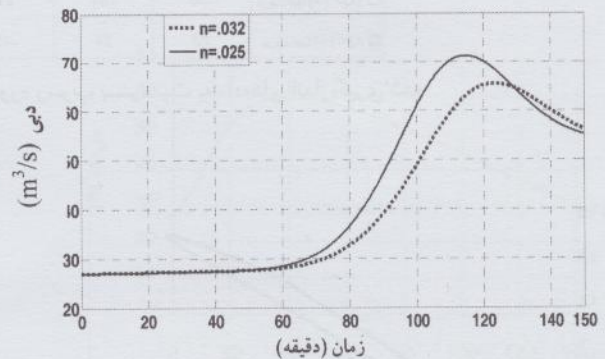
خصوصیات فیزیکی لایه زیر سطحی بستر و مواد بارکف، نتایج بهتری ارائه می‌دهد.

۲- مطابق شکل‌های ۷ تا ۹، برای پیش‌بینی بار بستر در دبی‌های بالا برای بازه مذکور روش‌های میر-پیتر مولر، پارکر، آنیشتین و بگلنولد با دانه‌بندی لایه زیر سطحی و مواد کف بهدلیل وجود خطاها زیاد، مناسب به نظر نمی‌رسند [۲۱]. در حالی که به کارگیری روش‌های، زانکه، ویلکوک، سان و داناوه در جریان‌های سیلابی با دبی بالا و روش‌های روتمن، آنیشتین و شوکلیچ در دبی‌های پایین بهدلیل سازگاری با یکدیگر و حداقل شدن خطاها مقادیر برآورده آنها نسبت به مقادیر مشاهداتی، توصیه می‌شود.

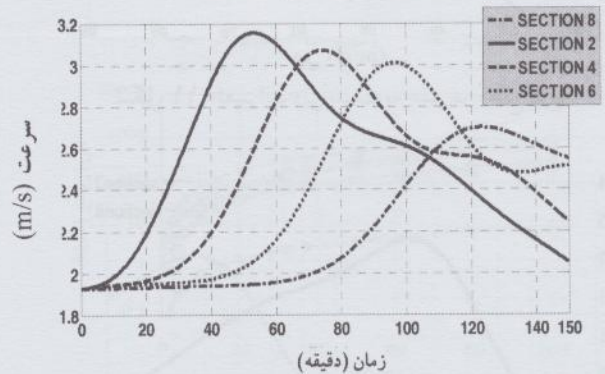
۳- مطابق جدول ۲ استفاده از میانگین روش‌های آنیشتین، روتمن و شوکلیچ در دبی‌های پایین و میانگین روش‌های زانکه، ویلکوک، سان و داناوه در دبی‌های بالا بهدلیل کاهش مجدد خطاها نسبی برای اندازه‌گیری شدت بار بستر در بازه مذکور مناسب‌تر است.

۴- دلایل تفاوت فاحش برخی روش‌ها در برآورد بار بستر عبارت‌انداز: شرایط کاربردی مخصوص هر کدام از روشها (جدول ۳) با توجه به محدودیتها، پیشنهادها و توصیه‌ها، عدم حساسیت کافی برخی روشها به تغییرات شرایط هیدرولیکی جریان، عدم حساسیت و یا حساسیت بالای برخی روشها به اندازه مواد بستر، نیاز روابط موجود به توسعه برای شرایط مختلف جریان نظری خصوصیات تلاطمی، یکنواختی و غیریکنواختی ذرات رسوب، پیچیدگی مکانیسم انتقال رسوب بهدلیل توسعه لایه سطحی بستر در رودخانه‌های با مواد بستری درشت و در حالت کلی وجود عدم قطعیت همراه با محدودیت شناخت نسبت به مکانیسم و فرم مخلط حرکت ذرات در روابط انتقال رسوب.

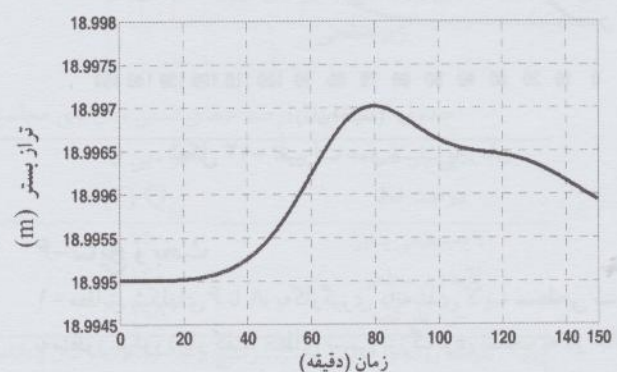
۵- با توجه به شکل ۹ و جدول ۲، تفکیک مطالعات و نتایج برای شرایط مختلف جریان (سیلابی و دائمی) سبب پایدار شدن روند تغییرات آن خواهد شد.



شکل ۱۴- تأثیر تغییر ضریب زبری مانینگ بر دبی ماکسیمم و هیدروگراف در مقطع انتهای



شکل ۱۵- تغییرات سرعت جریان نسبت به زمان در مقاطع مختلف



شکل ۱۶- تغییرات تراز بستر نسبت به زمان در مقطع میانی

جدول ۳- روشهای برآوردهای بار استر مناسب با شرایط بازه مورد مطالعه

روش برآوردهای بار استر	مبنا نظری	توصیه کاربردی
دیجیتال (۱۹۴۲)	دیجیتال	در رودخانه‌های با مواد بسته درشت دانه به قطر $0/3$ تا 5 میلی‌متر
انیشن (۱۹۵۰)	خصوصیات تلاطمی	برای رودخانه‌های با بسته شنی و ماسه‌ای غیریکنواخت دارای فرم بستر
روتنر (۱۹۵۹)	همبستگی آماری و نتایج تجربی	آزمایشگاهی با کاربرد وسیع رودخانه بسته شنی با لایه محافظ
پارکر (۱۹۸۲)	حرکت همسان ذرات	رودخانه‌های با مواد بسته درشت دانه
زانکه (۱۹۸۷)	خصوصیات تلاطمی و احتمالات	رودخانه‌های با مواد بسته درشت دانه
سان و داناوه (۲۰۰۰)	تشویق احتمال	رودخانه‌های با بسته درشت دانه و غیریکنواخت به قطر $0/2$ تا 10 میلی‌متر
ویلکوک (۲۰۰۳)	توزیع بار رسوب همبستگی آماری و احتمالات	مواد بسته درشت دانه به قطر $0/5$ تا 82 میلی‌متر

۷- نتیجه‌گیری

از آنجه بیان شد نتایج زیر حاصل می‌شود:

۱- به کمک مدل پیشنهادی شبیه‌سازی جریان غیر دائمی، محاسبه ظرفیت انتقال رسوب و تغییرات پروفیل بستر در یک آبراهه طبیعی انجام می‌شود. با توجه به تطابق مناسب حاصل از مقایسه و ارزیابی نتایج داده‌های آزمایشگاهی و صحرایی با شبیه‌سازی عددی، کاربرد این مدل برای پیش‌بینی تغییرات پروفیل‌های بستر و سطح آب سایر رودخانه‌های مشابه توصیه می‌شود.

۲- تحلیل عددی الگوی پیشنهادی با روش صریح لکس وندوف- ریچ مایر اصلاح شده و دو مرحله‌ای، با توجه به دارا بودن دقت بالا از مرتبه دوم مکانی و زمانی، در برداشت حداقل خطا و حداقل همگرایی و نیز عدم نیاز به تشکیل دستگاه معادلات غیرخطی از یک طرف و امكان تحلیل جامع پارامترهای هیدرولیکی و قابلیت تعمیم آن برای شبیه‌سازی‌های دو بعدی و سه بعدی توأم با به کار گیری مقاطع مرکب از طرف دیگر، مدلی کارآمد و توانا در شبیه‌سازی رودخانه‌های آبرفتی است.

۳- منحنی توزیع اندازه ذرات در لایه‌های سطحی، زیر سطحی و مواد بارکف، تأثیر بالایی در تخمین شدت بار استر در بازه مذکور دارد. بنابراین مطالعه خصوصیات مواد بسته در موارد مشابه و مطالعات موردي، به منظور تعیین و واسنجی روشهای برآورده بار رسوب توصیه می‌شود.

۴- با توجه به خطاهای بالا در معادلات، محاسبه نرخ انتقال رسوب، ارزیابی و صحت سنجی جامع تر و دقیق تر به منظور کاربرد این معادلات در رودخانه‌های آبرفتی توصیه می‌شود.

۶- نتایج محاسبات و مقایسه عملکرد مدل با داده‌های تجربی، نشان می‌دهد که با به کار گرفتن روش دو مرحله‌ای لکس وندوف- ریچ مایر، معادلات حاکم بر پدیده را می‌توان به صورت مزدوج و با دقت مطلوب تحلیل نمود.

۷- وجود تأخیر زمانی بین Q_{max} و U_{max} در حلقه بسته جریان غیر دائمی شکل ۱۱، تفاوت دیجیتال پیشنهادی و انتها می‌شکل ۱۰ و امکان مشاهده پدیده رسوب‌گذاری در بستر^۱ و فرسایش بستر^۲ در شکل ۱۶، بیانگر عملکرد صحیح مدل در حل دقیق معادلات سن- و نان و معادله پیوستگی رسوب است.

۸- در شکل ۱۳ تغییرات عدد فرود در طول بازه رودخانه نمایش داده شده است. مطابق شکل روند تغییرات عدد Ft از ابتدای بازه تا انتهای آن در زمان 40 دقیقه برخلاف زمان 150 دقیقه است. دلیل این امر گسترش موج سیلان در زمان اوج در طول بازه و فروکش کردن آن در زمان انتهایی هیدرولیکی و رسوبی، از بالادست به پایین دست بازه است. شکل ۱۰ تغییرات دیجیتال نسبت به زمان را نشان می‌دهد. تغییرات عمق و سرعت نسبت به زمان در مقاطع مختلف در شکلهای ۱۲ و ۱۵، نشان داده شده است. شکلهای مذکور تأثیرات تأخیر زمانی، طول مسیر و حجم جریان موجود بین مقاطع را در پارامترهای هیدرولیکی و تغییرات هیدرولیکی و غرافی یک سیلان نشان می‌دهد.

¹ Aggradation

² Degradation

۸- قدردانی

حمزه پوری استفاده شد. به این وسیله از همکاری‌های صمیمانه ایشان تقدیر و تشکر می‌گردد.

در این تحقیق از راهنمایی‌های ارزنده و نیز اطلاعات و داده‌های اندازه‌گیری شده انتقال بار بستر آقایان دکتر مهدی یاسی و رحیم

۹- مراجع

- 1-Soni, J. P., Garde., R. J., and Raju, K. G. R. (1980). "Aggradation in streams due to over loading." *J. Hydr. Div.*, 106 (1), 117-132.
- 2- Gill, M. A. (1983). "Diffusion model for aggradation." *J. Hydr. Res.*, 21(5), 355-367.
- 3- Jaramilo, W. F., and Jain, S. C. (1984). "Aggradation and degradation of alluvial channel beds." *J. Hydr. Engrg.*, 110 (8), 1072-1085.
- 4- Chaudhry, M. H. (1998). "Comparsion of coupled and semi coupled numerical models for alluvial channels." *J. Hydraulic Engineering*, 124 (28), 794-802.
- 5- Lyn, D. A., and Altinkar, M. (2002). "St. Venant- Exner equations for near-critical and and critical flows." *J. of Hydraulic Engineering*, 128 (6), 579-587.
- 6- Valerio, C. (2003). "Finite volume method for simulating extreme flood events in natural channels." *J. of Hydraulic Research*, 41 (2), 167-177.
- 7- حسن‌زاده، ی.، فیضی، ا.، و اعلمی، م. (۱۳۸۷). "مقایسه نتایج مدل ریاضی رسوب‌گذاری در مخزن سد علیان مراغه با داده‌های آبنگاری." *م، آب و فاضلاب*, ۶۷، ۴۷-۵۷.
- 8- صمدی بروجنی، ح.، و موسوی، س. ف. (۱۳۷۷). "یک مدل ریاضی جهت برآورد مقدار رسوب‌گذاری در مخازن سدهای کوچک (فاقد آمار)." *م، آب و فاضلاب*, ۲۴، ۲۶-۲۹.
- 9- Meyer-Peter, E., and Muller , R. (1984). "Formulas for bed-load transport." *Proc. 3rd Meeting IAHR*, Stockholm, 39- 64
- 10- Einstein , H.A. (1950). *The bed – load function for sediment transportation in open channel flows*, Technical Bulletin , No 1026 , USDA, Soil Conservation Servic , Washington D.C.
- 11- Habersack, H. M., and Laronne, J. B. (2002). "Evaluation and improvement of bed load discharge formulas based on Helly-Smith sampling in an alpine gravel bed rivers." *J. of Hyd. Eng.*, 128 (5), 484-499.
- 12- Parker, G., Klingeman, P. C., and Mclean, D. G. (1982). "Bed load and size distribution in paved gravel-bed stream." *J. of Hyd.Div.*, 108 (4), 544-571.
- 13- Sun, Z., and Donahue, J. (2000). "Statistically derived bed load formula for any fraction of non uniform sediment." *J. of Hyd. Eng.*, 126 (2), 105-111.
- 14- Cheng, N. S. (2002). "Exponential formula for bed load transport." *J. of Hyd. Eng.*, 128 (10), 942-946
- 15- Wilcock, P. R., Kenworthy, S. T., and Crowe, J. (2001). "Experimental study of the transport of mixed sand and gravel." *Water Resources Research*, 37 (12), 3349-3358.
- 16- Anderson, D. A., Tannehill, J. C., and Pletcher, R. H. (2006). *Computational fluid mechanics and heat transfer*, 2nd Ed., McGraw Hill , New York.
- 17- Krishnappan, B. G. (1983). *Modeling of unsteady flows in alluvial streams*, Hydraulics Division,Nationnal Water Research Institute,Burlington,Ontario.
- 18- مرکز تحقیقات آب وابسته به وزارت نیرو. (۱۳۸۲). پیش‌نویس مستورالعمل روش‌های عملیات نمونه‌برداری رودخانه‌ها، تهران.
- ۱۹- مهندسین مشاور آبگیر. (۱۳۸۲). مطالعات مرحله اول نیروگاه برق آبی حصار و بدلان خوی، جلد اول، معاونت عمرانی وزرات جهاد کشاورزی، تهران.
- 20- Chow, V. T. (1959). *Open channel hydraulics*, 1st Ed., McGraw Hill, New York.
- ۲۱- حمزه‌پوری، ر. (۱۳۸۳). "ارزیابی بار رسوبی در رودخانه‌های با مواد بسته‌ی درشت دانه." *پایان‌نامه کارشناسی ارشد رشته آبیاری،دانشگاه ارومیه*.